

622.246.6(043)  
У93

На правах рукописи

**УШАКОВ АРТЕМ СЕРГЕЕВИЧ**

**ИССЛЕДОВАНИЕ ВЛИЯНИЯ ГИДРАВЛИЧЕСКОГО РАЗРЫВА  
ПЛАСТА НА ИНТЕНСИФИКАЦИЮ ДОБЫЧИ НЕФТИ В СКВАЖИНАХ  
С ГОРИЗОНТАЛЬНЫМ ОКОНЧАНИЕМ**

Специальность 25.00.17 – Разработка и эксплуатация нефтяных и газовых месторождений

Автореферат диссертации на соискание ученой степени  
кандидата технических наук

Тюмень – 2010

622.276.6 (043)

У 93

Работа выполнена в Государственном образовательном учреждении высшего профессионального образования «Тюменский государственный нефтегазовый университет» (ТюмГНГУ) Федерального агентства по образованию на кафедре «Разработка и эксплуатация нефтяных месторождений».

**Научный руководитель** - доктор технических наук, профессор

**Телков Александр Прокофьевич**

**Официальные оппоненты:** - доктор технических наук, доцент

**Сохошко Сергей Константинович**

- кандидат технических наук

**Тимчук Александр Станиславович**

**Ведущая организация** - Открытое акционерное общество «Сибирский

научно-исследовательский институт нефтяной  
промышленности» (ОАО «СибНИИНП»)

Защита состоится 3 июля 2010 года в 11.00 часов на заседании диссертационного совета Д.212.273.01 при ТюмГНГУ по адресу: 625039, г. Тюмень, ул. 50 лет Октября, 38.

С диссертацией можно ознакомиться в библиотечно-информационном центре ТюмГНГУ по адресу: 625039, г. Тюмень, ул. Мельникайте, 72 а, каб. 32.

Автореферат разослан 3 июня 2010 г.

**Ученый секретарь**

диссертационного совета,

доктор технических наук, профессор

Г.П. Зозуля

## ОБЩАЯ ХАРАКТЕРИСТИКА РАБОТЫ

**Актуальность проблемы.** В настоящее время одной из нерешенных научно – технических проблем на месторождениях ОАО «Сургутнефтегаз» признано отсутствие научного обоснования направления развития трещины при гидроразрыве пласта (ГРП) и параметров этого технологического процесса в горизонтальной скважине (ГС), которая, как известно, являются несовершенной и ее исследование относится к числу сложных задач подземной гидромеханики. Причем после проведения ГРП при моделировании технологического процесса поведения работы скважины необходимо оценить и учесть фильтрационные сопротивления, вызванные характером вскрытия, также провести гидродинамические исследования.

При проектировании ГРП в ГС применяются стандартные пакеты программ (типа «Eclipse», «VIP», «Tempest-More» и др.). Структура их программно - информационного обеспечения трехмерного гидродинамического моделирования не позволяет детально исследовать в явном виде технологические процессы интенсификации добычи при эксплуатации ГС. Поэтому эффективность операций не соответствует проектным данным и расхождение составляет до 30 % и более. Кроме того в них также не уделяется должное внимание уникальному напряженному состоянию пород в призабойной зоне. Направление образующейся трещины может отличаться от теоретического направления ее распространения преимущественно перпендикулярно к плоскости, в которой главное напряжение в пластовой породе минимально, если только не встретится локальное нарушение непрерывности.

Многие проблемы, связанные с использованием горизонтальных стволов с гидравлическими трещинами разрыва остаются недостаточно изученными. Например, не получил должного обоснования весьма важный параметр – эффективный радиус горизонтальной скважины  $r_o$ , который необходим для прогнозирования оптимальной высоты поперечной трещины контактирующей с

an 2112 - 2112

горизонтальным стволов; требуется наиболее четкая методика интерпретации результатов гидродинамических исследований и определения оптимальной продолжительности дебитов ГС после ГРП. Мало уделено внимания проведению ГРП в горизонтальных ствалах для мощных высокопроницаемых пластов и создаваемым продольным трещинам вдоль горизонтального ствола. Очень важной задачей является выбор кандидата – скважины для проведения поинтервального ГРП в горизонтальном стволе.

### **Цель работы**

Интенсификация добычи нефти с применением гидравлического разрыва пласта в горизонтальных скважинах, обоснованного математическим гидродинамическим моделированием основных параметров притока жидкости.

### **Основные задачи исследования**

1. На основе анализа практики применения ГРП в ГС выявление и оценка факторов, влияющих на ГРП и его эффективность в горизонтальных ствалах скважин месторождений Западной Сибири, дренирующих пласты, как с низкой проницаемостью, так и мощные коллектора с высокой проницаемостью.
2. Усовершенствование методики прогнозирования оптимальной высоты поперечных трещин ГРП в горизонтальных ствалах и рентабельных дебитов во времени.
3. Разработка усовершенствованной гидродинамической модели фильтрации пластовой жидкости в системе «пласт-трещина-скважина».
4. Разработка и внедрение методики выбора горизонтальных скважин-кандидатов для проведения в них ГРП.

### **Научная новизна выполненной работы**

1. Предложено сравнительную эффективность использования горизонтального ствала с поинтервальными трещинами разрыва и вертикальной скважиной с вертикальной трещиной разрыва производить исходя из сопоставления их проводимостей и использования эффективного радиуса горизонтального ствола.

2. Разработана четкая методика моделирования ГРП в горизонтальных стволях и дана оценка ее эффективности по сравнению с вертикальной трещиной в вертикальной скважине на реальном примере.

3. Установлено, что высокая технологическая эффективность ГРП в горизонтальных стволях, прежде всего, связана с подключением в работу застойных тупиковых зон, линзовидных и фрактальных участков продуктивного коллектора, что, несомненно, способствует повышению нефтеотдачи пласта.

4. Установлено, что наиболее эффективно проводить поинтервальный ГРП в начале горизонтального ствола, с учетом критического значения линейного размера трещины, зависящего от ее проницаемости и ширины выше которого наблюдается снижение дебита по отношению к дебиту трещины.

5. Для нефтяных месторождений Западной Сибири разработана методика выбора скважин кандидатов для проведения поинтервального гидравлического разрыва пласта в горизонтальных скважинах, вскрывших как низкопроницаемые маломощные пласты, так и высокопроницаемые пласты большой толщины.

### **Практическая ценность и реализация**

Полученные аналитические зависимости по усовершенствованию методики прогнозирования эффективных параметров трещин ГРП в горизонтальных стволях и прогнозирование рентабельных дебитов во времени, позволили обосновать подбор ГС для проведения ГРП на скважинах месторождений ОАО «Сургутнефтегаз» и ОАО «Газпромнефть – Ноябрьскнефтегаз» (Средне – Итурское месторождение, объект БС<sub>12</sub>, Западно-Ноябрьское месторождение, объект БС<sub>12</sub>) на которых получена дополнительная добыча более 30 тыс. тонн, а средняя продолжительность эффекта составила 1,5 года.

### **Апробация результатов работы**

Результаты диссертационной работы и ее основные положения

докладывались и обсуждались: на шестой региональной научно – практической конференции студентов, аспирантов и молодых ученых «Новые технологии нефтегазовому региону» (Тюмень, 2007 г); на Международной академической конференции Состояние, тенденции и проблемы развития нефтегазового потенциала Западной Сибири (Тюмень, 2008-2009 гг); на Международном симпозиуме им. академика Усова «Проблемы геологии и освоения недр» (Томск, 2010 г); на научно – технических советах ООО «Salym Petroleum Development», в ТО «СургутНИПИнефть», на семинарах кафедры «Разработка и эксплуатация нефтяных месторождений» ТюмГНГУ (2007 – 2010 гг.).

### **Публикации**

Результаты выполненных исследований отражены в 8 печатных работах, в том числе в трех изданиях, рекомендованных ВАК РФ.

### **Объем и структура работы**

Диссертационная работа изложена на 123 страницах машинописного текста, содержит 26 таблиц, 63 рисунка. Состоит из введения, четырех разделов, основных выводов и рекомендаций, списка использованных источников из 69 наименований.

## **СОДЕРЖАНИЕ РАБОТЫ**

**Во введении** диссертации обоснована актуальность работы, сформулированы цель и задачи исследований, научная новизна и практическая значимость диссертационной работы, определены основные направления исследований.

**В первом разделе** представлены результаты анализа технологий повышения эффективности эксплуатации горизонтальных стволов. Считается, что основным назначением горизонтального ствола и ГРП является вовлечение в дренирование наибольших объемов пласта. Однако сочетание вскрытия продуктивного пласта горизонтальным стволов или несколькими стволами с

последующим проведением одного или нескольких ГРП в них является новым подходом к интенсификации добычи нефти.

Для проведения операции ГРП в горизонтальных стволях разработано значительное количество технологий и технического оборудования, которые по принципу воздействия на пласт можно разделить на две группы. Первая – разрыв пласта, при котором проводится ГРП после установки пакеров над интервалом входа горизонтального ствола в пласт, при этом процесс и направление создаваемой трещины не контролируется. Вторая группа технологий позволяет создавать трещины в заданном интервале ствола.

В работе представлен анализ технологии, используемых на месторождениях Западной Сибири. Например, технология «StageFRAC» фирмы «Shlumberger», которая обеспечивает выполнение многостадийных операций ГРП в необсаженном стволе одной скважино-операцией. При этом пакеры спускаются в необсаженный ствол скважины в стандартной эксплуатационной колонне и разделяют продуктивный пласт на интервалы гидравлическими муфтами, расположенными между каждым комплектом пакеров. Известная технология «SurgiFrac» компании «Halliburton», которая позволяет провести гидроразрыв практически в любом месте горизонтального ствола. Например, при заканчивании скважины множество мелких и больших трещин можно создать последовательно (или одновременно), начиная от конца и до начала горизонтального участка. Большие успехи в развитии технологии ГРП в ГС сделаны в ОАО «Сургутнефтегаз», специалистами которого предложена технология селективного ГРП, предполагающая селективное создание трещин. Предварительной гидропескоструйной резкой колонны обеспечивается образование серии каверн в заколонном пространстве, повышение в них давления и инициации разрыва пласта. Энергия давления смеси жидкости и песка, движущейся в колонне НКТ, трансформируется в соплах насадок перфоратора в кинетическую энергию скоростной струи. В образованной полости скорость струи снижается, статическое давление возрастает и при

определенных параметрах струи и давления достигает значения, достаточного для инициации трещины. Получаемые из серии отверстий перфоратора трещины формируют общую трещину, поэтому путем соответствующего размещения перфорационных отверстий обеспечивается возможность точного позиционирования интервала начала развития трещины и управление ее ориентацией.

Несмотря на постоянное совершенствование технологий ГРП в ГС опыт их практического применения показал, что не все операции являются успешными. Например, в северо-восточной части пласта БП<sub>14</sub> Тарасовского месторождения ОАО «РН-Пурнефтегаз» был выбран участок с четырьмя горизонтальными скважинами (скв. 266, 268, 781 и 782), находящимися в схожих геологических условиях, на которых проведен ГРП по технологии «SurgiFrac» и неориентируемый ГРП. Проведение ГРП позволило повысить дебит каждой скважины. Дополнительная добыча нефти за счет ГРП представлена в таблице 1.

1. Наибольшая кратность прироста безразмерного коэффициента продуктивности  $J_D$  получена при использовании технологии «SurgiFrac» в скв. 266, наибольшие прирост дебита и дополнительная добыча нефти - при использовании технологии неориентируемого ГРП в скв. № 781. В целом на данном участке Тарасовского месторождения эффективны обе технологии.

Таблица 1 - Дополнительная добыча нефти за счет ГРП

Номер скважины	Дата проведения ГРП	Технология	Прирост дебита, т/сут	Доп. добыча нефти, тыс. т.	Кратность прироста коэффициента $J_D$
266	20.10.06	SurgiFrac	33	8,4	6,1
782	28.12.06		21	6,1	3,1
268	24.11.06	неориентируемый ГРП	32	7,9	3,2
781	18.11.06		40	11,8	5,1

Очевидно, что неудача операций, связана с тем, что при проектировании не учтено уникальное напряженное состоянию пород в призабойной зоне. Сделаны предположения о том, что инициирование и распространение

трещины будут такими же, как и в призабойной зоне вертикальной скважины. Однако направление образующейся трещины будет существенно отличаться от проектного направления ее распространения (преимущественно перпендикулярно к плоскости, в которой главное напряжение в пластовой породе минимально, если только не встретится локальное нарушение непрерывности). Следовательно, образующиеся трещины не обязательно будут плоскими; при инициировании их направление определяется динамическим взаимодействием между превалирующими условиями на стенке скважины и вязкостно-скоростными характеристиками жидкости, закачиваемой в процессе обработки, а направление распространения трещин перпендикулярно к составляющей тензора минимальных напряжений породы.

Другой важный аспект того, что для проектирования траектории в направлении, параллельном минимальному горизонтальному напряжению, являющемуся составляющей тензора напряжений в пластовых породах, вполне достаточно определить этот тензор. Затем в результате осуществления последовательных операций по установке изолирующих пакеров и созданию давления должна инициироваться серия поперечных трещин. Упрощенные решения, базирующиеся на теории упругости, допускают, что вне зависимости от ориентации и азимутального направления ствола скважины существует общая тенденция инициирования трещины вдоль стенки скважины при ее заканчивании с открытым стволом. В дальнейшем происходит переориентация этой трещины в направлении более благоприятном для ее распространения. По мере распространения трещины дальше от ствола скважины она будет разворачиваться, чтобы занять положение, перпендикулярное к направлению действия минимального главного напряжения.

Таким образом, при бесконтрольном воздействии на протяженные пласти с высокой расчлененностью и изменчивостью фильтрационных параметров прослоев, а также с наличием в разрезе водонасыщенных пропластков, существует риск преждевременного обводнения скважин после ГРП и,

возможно, полной их потери для разработки. Применение неориентируемого ГРП можно рассматривать лишь как вовлечения в дренирование наибольших (но далеко не эффективных) объемов пласта.

**Во втором разделе** приведены результаты исследования аналитических решений по оценке производительности горизонтальных скважин после ГРП.

Исследования в области технологий гидроразрыва пласта в ГС а также оценки эффективности таких операций впервые отражены в работах Мак Гуайера и Сикоры. В дальнейшем этими проблемами занимались как отечественные, так и зарубежные ученые: С.Д. Джоши, М.И. Экономидес, А.М. Дамгард, Мухереджи, Прэтс, Синко, Саманиего, К.М. Федоров, Л.М. Кочетков, В.Н. Журба, Г.А. Малышев, А. В. Желудков, Р.И. Медведский, И.Р. Мукминов, А.М. Хайдар и др.

Мак Гуайер и Сикора в 60-е годы впервые разработали методику сопоставления коэффициентов продуктивности скважин до и после ГРП что послужило основанием для прогнозирования поведения скважин после ГРП. Большой вклад в моделирование трещин с конечной проводимостью в горизонтальных скважинах внес Прэтс (1962 г), предложив аппроксимировать приток к горизонтальной скважине притоком к цилиндрической скважине с эффективным радиусом горизонтального ствола, и построил зависимость эффективного радиуса  $r_e$  в зависимости от параметра относительной емкости  $a$  (рисунок 1).

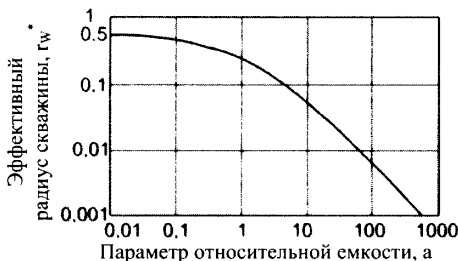


Рисунок 1 - Зависимость эффективного радиуса ствола скважины (согласно Прэтсу)

Где

$$a = \frac{\pi}{2F_{cn}}, \quad (1)$$

где  $F_{cn}$  - относительная проводимость трещины, определяемая как

$$F_{cn} = \frac{K_f \omega}{K X_f}, \quad (2)$$

где  $K_f$  - проницаемость трещины,  $10^{-3} \text{ м}^2$ ;  $\omega$  - ширина трещины, м;  $K$  - проницаемость пласта,  $10^{-3} \text{ м}^2$ ;  $X_f = L$  - длина трещины, м.

Кроме того, Прэтс ввел понятие безразмерного эффективного радиуса горизонтального ствола

$$r_{eff} = \frac{r_o}{X_f} \quad (3)$$

Из графика (рисунок 1) видим при  $a \rightarrow 0$  (трещина бесконечной проводимости) ограниченное значение безразмерного эффективного радиуса составляет  $r_{eff} = 0.5$ . Следовательно, для трещин с высокой проводимостью размерный эффективный радиус ствола скважины эквивалентного вертикальной трещины разрыва составит

$$r_o = \frac{X_f}{2} \quad (4)$$

Для трещин малой проводимости ( $a < 6$ ) рисунок 1 отражает линейную зависимость, тогда безразмерный и размерный эффективные радиусы записываются

$$r_{eff} = \frac{K_f \omega}{4KX_f} \text{ или } r_o = \frac{K_f \omega}{4K} \quad (5)$$

При полном развитом потоке в трещине отмечается несколько видов потоков, которые указаны на рисунке 2. После точной идентификации режимов строят специализированные графики, позволяющие рассчитывать параметры трещины для билинейного потока. График зависимости перепада давления  $\Delta P$  от времени  $\sqrt{t}$  рисунок 3.

По тангенсу угла наклона прямолинейного участка можно определить коэффициент проницаемости трещины. Для коллекторов низкой

проницаемости время выхода на асимптотическую прямую зависит от влияния притока жидкости в скважину после остановки ее на исследование. В этом случае время восстановления оказывается настолько большим, что не позволяет исследовать скважину традиционными методами. Майкл Дж. Экономидис, Кеппет Г.Нольте предлагают прогнозировать эффективную полудлину вертикальной полутрещины в зависимости от эффективной толщины пласта и безразмерных проводимостей графическим путем. В работе аналитическим путем было установлено, что графический метод дает завышенные результаты по определению длины полутрещины.

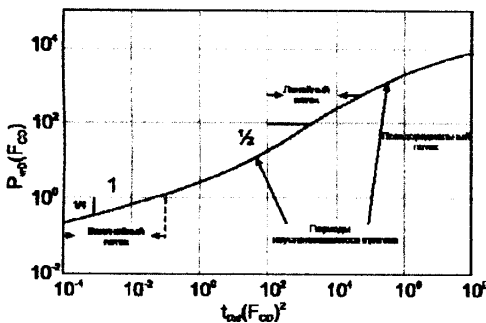


Рисунок 2 - Изменение давления в логарифмических координатах при полностью развитом потоке

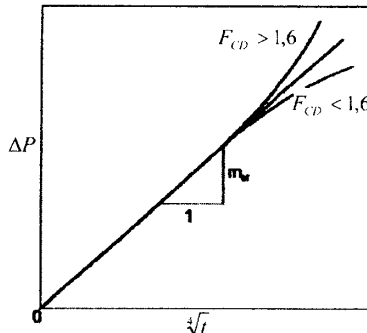


Рисунок 3 - Декартов график билинейного потока

Ухудшение гидравлической связи между трещиной и скважиной был описан Мухереджи и Экономайдесом (1988) посредством введения понятия

«скин-эффект» от «штуцера» ( $S_{ch}$ ). Наименьший контакт наблюдается, когда трещина и ствол скважины строго ортогональны. В этом случае наибольший «скин-эффект» характеризуется формулой:

$$S_{ch} = \frac{Kh}{K_f \omega} \left[ \ln \frac{h}{2r_b} - \frac{\pi}{2} \right], \quad (6)$$

Скин-эффект  $S_{ch}$  - это дополнение к безразмерному давлению для каждой отдельной трещины:

$$P_d^* = P_d + S_{ch} = \frac{Kh}{141,2qB\mu}, \quad (7)$$

где,  $K_f$  - коэффициент проницаемости трещины, мД;  $K$  - коэффициент проницаемости пласта, мкм<sup>2</sup>;  $h$  - толщина пласта, м;  $q$  - дебит скважины, м<sup>3</sup>/сут;  $B$  - объемный коэффициент;  $\mu$  - коэффициент абсолютной вязкости нефти в пластовых условиях, мПа \* с;  $\omega$  - ширина трещины, м.

Безразмерное давление  $P_d$  может быть получено из решения Синко-Лей и Саманиего. На рисунке 4 представлен пример вертикальной скважины с трещиной и горизонтальной скважины с четырьмя ортогональными трещинами.

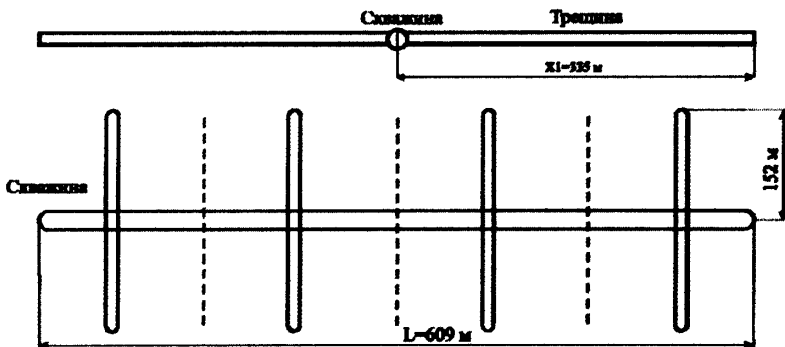


Рисунок 4 - Конфигурация вертикальной скважины (вертикальной трещины) и горизонтальной скважины с четырьмя поперечными вертикальными трещинами)

С учетом скин-эффекта от «штуцера» рассчитаны дебиты вертикальной скважины с вертикальной трещиной и горизонтальной скважины с

ортогональной вертикальной трещиной в условиях низкопроницаемого пласта, используя эталонные кривые Экономидеса.

Принимаются следующие исходные данные:

$K = 1 \cdot 10^{-3}$  и  $0,1 \cdot 10^{-3} \text{ мкм}^2$ ;  $K_f = 24 \text{ мкм}^2$ ;  $h = 30,5 \text{ м.}$ ;  $\omega = 0,00635 \text{ м.}$ ;  $r_w = 0,124 \text{ м.}$ ;  $\phi = 0,15$ ;  $\mu = 1 \text{ мПа}\cdot\text{с}$ ;  $C_i = 10^{-5} \cdot (0,00703 \text{ МПа})^{-1}$  - коэффициент упругоемкости пласта;  $x_i = 152,5 \text{ м.}$  – длина полутрещины;  $B = 1,1$  – объемный коэффициент;  $P - P_{w,i} = 7,03 \text{ МПа}$  – депрессия;  $C_D = 10^{-4}$  – безразмерный коэффициент накопления. Параметр  $C_D$  еще называют коэффициентом притока в трещину, который используется при интерпретации КВД в скважинах с трещинами, имеющими конечную проводимость, с учетом влияния притока.

Произведя расчеты по приведенным формулам, получим соответствующие расходы, сведенные в таблицу 2.

Таблица 2 – Значения расходов при различных параметрах

$K, \text{ мкм}^2$	$t, \text{ сут}$	$q_1 (\text{м}^3 / \text{сут})$	$q_2 (\text{м}^3 / \text{сут})$
$1 \cdot 10^{-3}$	10	68	48
$1 \cdot 10^{-3}$	180	50	43
$0,1 \cdot 10^{-3}$	10	60	49
$0,1 \cdot 10^{-3}$	180	10	9

Здесь:

$q_1$  – для вертикальной скважины с вертикальной трещиной разрыва с длиной полутрещины  $X_i = 336 \text{ м.}$ ;  $q_2$  – для горизонтальной скважин с одной вертикальной поперечной трещиной разрыва  $X_i = 153 \text{ м.}$  (см. рисунок 4)

Из таблицы 2 видно, дебиты  $q_1$  и  $q_2$  для пласта с коэффициентом проницаемости  $K = 1 \text{ мД}$  за 180 суток работы скважин изменились незначительно, тогда как для с более низкой проницаемостью  $K = 0,1 \cdot 10^{-3} \text{ мкм}^2$  изменение их существенное ( $q_1$  изменяется от 60 до  $10 \text{ м}^3 / \text{сут}$ ,  $q_2$  изменяется от 49 до  $9 \text{ м}^3 / \text{сут}$ ). Причем, повсеместно  $q_1 < q_2$ . Следовательно, преимущества создания поперечных вертикальных трещин разрыва через горизонтальные стволы очевидны, но необходимо обоснование на второй стадии интервала проведения ГРП.

**В третьем разделе** рассмотрена задача описания движения жидкости в горизонтальном стволе после проведения неориентированного гидравлического разрыва пласта, т.е. создание одной трещины значительной длины в интервале наименьшего давления.

На рисунке 5 представлена модель гидроразрыва пласта в начальной части горизонтального ствола скважины. Проводить гидроразрыв пласта, с созданием одной трещины эффективно как в начале горизонтального ствола, так и в удаленной его части, так как увеличивается зона дренирования пласта в обоих случаях одинаково, но после проведения ГРП в удаленной части ствола часть энергии жидкости теряется на преодоление сопротивления по всей длине горизонтального ствола скважины.

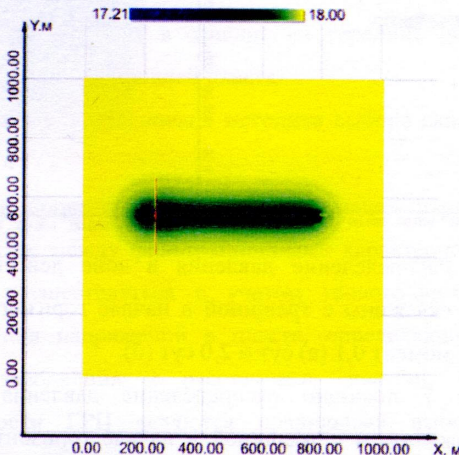


Рисунок 5 - Модель горизонтальной скважины после образования трещины в начале ствола.

В результате вычислительного эксперимента проследили динамику распределения поля давления (рисунок 6). На рисунке 6 показано распределение давления в изолиниях в скважине с горизонтальным стволом после проведения гидроразрыва пласта, по истечению 0,1 и 2 суток с момента запуска. Как видно вначале распределение давления по стволу носит

равномерный характер. По прошествии двух суток работы скважины характер распределения давления вдоль горизонтального ствола несколько изменился. В зоне образования трещины, выработка запасов происходит более интенсивно, о чем может свидетельствовать снижение давления по периметру трещины. Как видно контур питания скважины имеет форму правильного эллипса, то есть допущения, которые были приняты в аналитической модели удовлетворяют требуемым условиям точности.

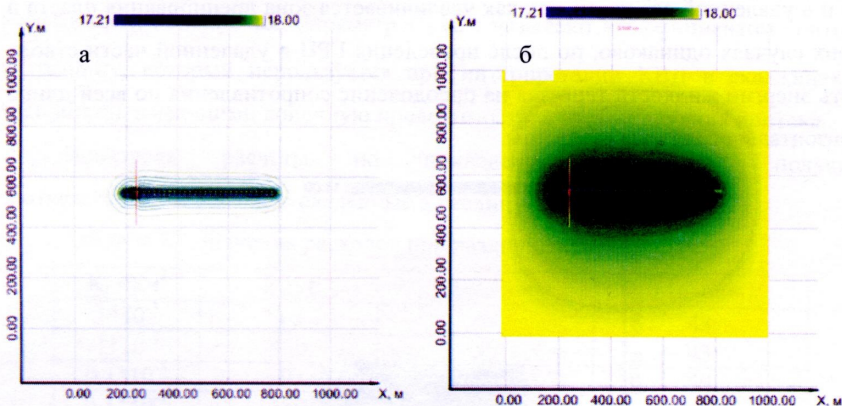


Рисунок 6 - Распределение давления в зоне действия горизонтальной скважины с трещиной в начале горизонтального участка на момент 0,1 (а) сут и 2,0 сут (б).

На рисунке 7 показано распределение давления в зоне действия горизонтальной скважины с трещиной в начале горизонтального участка на момент 5.0 сут. После работы на протяжении пяти суток контур питания так же остается в форме правильного эллипса. Концентрация напряжений происходит в районе трещины, что можно увидеть на рисунке 5 б в изолиниях.

На расстоянии 150 метров от ствола скважины (смещение вдоль контура питания), линии равных давлений во фронтальном разрезе пласта с горизонтальной скважиной после ГРП характер концентрации линий давления вокруг трещины и горизонтального ствола скважины, прослеживается так же по принципу суперпозиций.

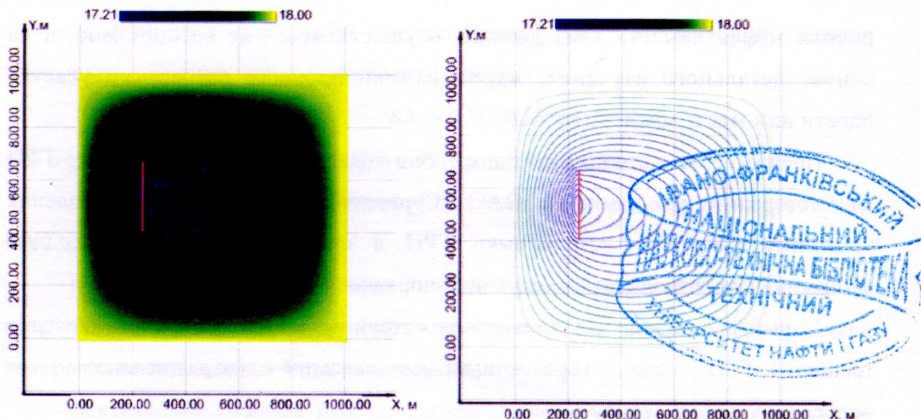


Рисунок 7 - Распределение давления в зоне действия горизонтальной скважины с трещиной в начале горизонтального участка на момент 5,0 сут в сечении на середине расстояния между скважиной и кровлей пласта.

**В четвертом разделе** обоснована методика выбора скважин-кандидатов для проведения ГРП в ГС.

Выбор ГС для проведения ГРП и оптимизация параметров трещин, обеспечивающая баланс между фильтрационными характеристиками пласта и трещины, должны осуществляться с учетом геолого-физических свойств объекта, распределения напряжений в пласте, определяющего ориентацию трещин, системы заводнения и расстановки скважин. Определяющими факторами успешности ГРП являются правильный выбор объекта для проведения операций, использование технологий гидроразрыва, оптимальной для данных условий, и обоснованный подбор скважин для обработки.

Практика применения ГРП и научно-исследовательские работы показывают, что эффект от проведения ГРП неодинаково проявляется в работе отдельных скважин, поэтому необходимо рассматривать не только прирост дебита каждой скважины вследствие гидроразрыва, но и влияние интерференции скважин, неоднородности пласта, энергетических возможностей объекта и др. Выбор скважин для обработок для обработок и

оценка эффективности ГРП должны осуществляться не бессистемно, а на основе детального изучения гидродинамики процесса разработки участка пласта или месторождения в целом.

Предлагаемая методика используется в ходе проведения «струйного» ГРП на месторождениях компании ОАО «Сургутнефтегаз». Порядок проведения комплекса работ по «струйному» ГРП в скважинах с горизонтальным окончанием производится в следующем порядке:

- 1) выбор скважин для проведения «струйных» ГРП и обоснование типа трещин ГРП для горизонтальных скважин (параллельные или перпендикулярные стволу);

- 2) обоснование интервалов ствола, из которых необходимо создание трещин ГРП.

- 3) определение геометрических параметров создаваемых трещин и оценка степени их влияния на продуктивность прослоев, в переделах которых они созданы;

- 4) проектирование технологии проведения «струйного» ГРП, разработка плана работ;

- 5) выполнение операций в соответствие с утвержденным планом.

Предварительный выбор объектов – кандидатов для проведения «струйных» ГРП в скважинах осуществляется с учетом геолого-физических свойств на основе следующих критерии:

- выработанность извлекаемых запасов не должна превышать 30 %;

- учет неоднородности пласта по простианию и расчлененность по толщине, обеспечивающие высокую эффективность гидроразрыва за счет приобщения к разработке зон и пропластков, не дренируемых ранее;

- запас пластовой энергии и эффективную нефтенасыщенную толщину пласта, достаточные для значительного и продолжительного увеличения дебитов скважин после гидроразрыва и, следовательно, обеспечивающие окупаемость затрат на проведение ГРП;

- нефтенасыщенная толщина пласта должна быть не менее 3 м;

- коэффициент начальной нефтенасыщенности коллекторов должен превышать значение, определяемое по формуле

$$K_{II} = 0.31 + 0.35\Delta\alpha_{II} \quad (8)$$

где  $\alpha_{II}$  – относительная амплитуда собственной поляризации;

- отношение текущего пластового давления к начальному при проведении ГРП должно быть не менее 0,9;

- при проведении опытных работ толщина перекрывающих и подстилающих глинистых прослоев для проведения селективного разрыва интервала пласта должна быть не менее 3 м;

- фактические режимы работы скважин должны быть значительно ниже ожидаемых;

- выявление скважин с загрязненной призабойной зоной, которое осуществляется на основе промысловых данных.

- состояние цементного камня в заколонном пространстве на 20 м выше и ниже интервала перфорации при наличии водоносных прослоев должно быть хорошего качества.

Данная методика дает единый подход к созданию проектных документов по разработке месторождений с применением ГРП и может служить инструментом для выбора скважин для проведения гидроизрыва пласта на стадии предварительного анализа, так и на стадии детального геологогидродинамического моделирования.

На рисунке 8 представлены технологические показатели работы скважины № 387 Г, которая пробурена на объект БС<sub>12</sub> Средне – Итурского месторождения. Из графика видно, что после проведения ГРП 05.08.2006 г., что после проведения ГРП обводненность выросла с 3 % до 15 %. Однако следует отметить стабильное снижение дебита по нефти и незначительный рост обводненности, продолжительность эффекта от ГРП составила около двух лет, объем дополнительной добычи нефти составил 17,5 тыс тонн нефти.

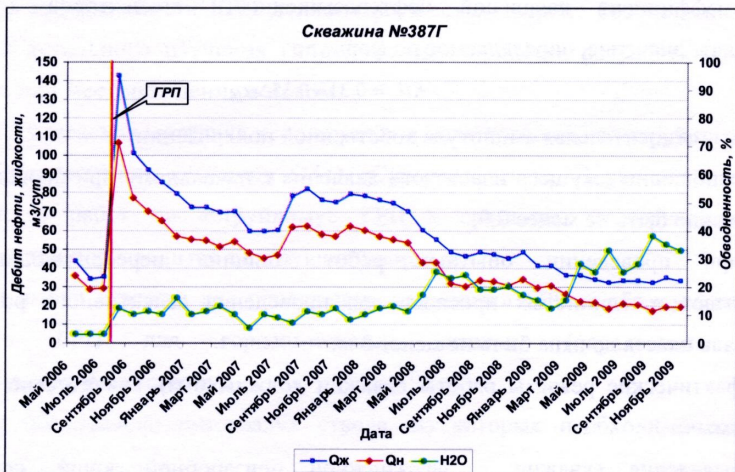


Рисунок 8 – Динамика дебита нефти, жидкости, обводненности.

По результатам работ по проведению ГРП, а также по показателям эксплуатации скважины №387Г можно сделать следующие выводы, что скважина-кандидат для проведения ГРП выбрана весьма успешно. Эффект от операций продолжался в течение двух лет, объем дополнительной добычи нефти составил около 17,5 тыс. т нефти, что является очень положительным как технологическим так и экономическим результатом.

### ОСНОВНЫЕ ВЫВОДЫ И РЕКОМЕНДАЦИИ

1 Выявлено, что при моделировании гидроразрыва пласта в горизонтальной скважине не учитывается уникальное напряженное состояние пород в приствольной зоне. В известных программных продуктах приняты допущения о том, что инициирование и распространение трещины будут такими же, как и в призабойной зоне вертикальной скважины. Направление образующейся трещины будет существенно отличаться от теоретически применяемого направления ее распространения преимущественно перпендикулярно к плоскости, в которой главное напряжение в пластовой породе минимально, если только не встретится локальное нарушение непрерывности.

2 Выявлено, вне зависимости от ориентации и азимутального направления ствола скважины существует общая тенденция инициирования трещины вдоль стенки скважины при ее заканчивании с открытым стволов. В дальнейшем происходит переориентация этой трещины в направлении более благоприятном для ее распространения. По мере распространения трещины дальше от ствола скважины она будет разворачиваться, чтобы занять положение, перпендикулярное к направлению действия минимального главного напряжения.

3 Предложено сравнительную эффективность использования горизонтального ствола с поинтервальными трещинами разрыва и вертикальной скважиной с вертикальной трещиной разрыва производить исходя из сопоставления их проводимостей и использования эффективного радиуса горизонтального ствола.

4. Разработана усовершенствованная методика прогнозирования оптимальной высоты поперечных трещин ГРП в горизонтальных стволях и рентабельных дебитов во времени.

5. Разработана методика подбора скважин-кандидатов для проведения ГРП в ГС, которая используется при проектировании операций на месторождениях ОАО «Сургутнефтегаз» и ОАО «Газпромнефть – Ноябрьскнефтегаз» (Средне – Иторское месторождение, объект БС<sub>12</sub>, Западно – Ноябрьское месторождение, объект БС<sub>12</sub>). В результате успешного выбора скважин-кандидатов проведении ГРП в ГС на Средне – Итурском месторождении получена дополнительная добыча более 30 тыс. тонн, а средняя продолжительность эффекта составила 1,5 года.

**Основные положения диссертации опубликовано в следующих работах:**

1. Карнаухов А.Н. Анализ эффективности эксплуатации пласта БС<sub>18-20</sub> боковыми стволами / А.Н. Карнаухов, А.С. Ушаков // Новые технологии нефтегазовому региону: Сб. науч. тр. шестой регион. науч. – практич. конф. студентов, аспирантов и молодых ученых, Тюмень: ТюмГНГУ, 2007. – С. 7-12.

2. Большаков В.В. Перспективы применения ГРП в боковых стволях при эксплуатации пласта БС<sub>18-20</sub> / В.В. Большаков, А.С. Ушаков, А.Ю. Толмачев, М.М. Занкиев // Состояние, тенденции и проблемы развития нефтегазового потенциала Западной Сибири: Тр. Междунар. академ. конф., Тюмень, 2008. – С. 337-481.

3. Большаков В.В. Перспективы применения ГРП в боковых стволях при эксплуатации пласта БС<sub>18-20</sub> / В.В. Большаков, А.С. Ушаков, М.М. Занкиев // Известия высших учебных заведений. Нефть и газ. 2008. № 3. С. 23-27.

4. Ушаков А.С. Особенности фильтрации жидкости в пласте при различных конфигурациях скважин / С.П. Чукланова, В.М. Арсланов // Современные технологии для ТЭК Западной Сибири: Сб. науч. тр., 3 научн.-техн. конф., Тюмень: ТюмГНГУ, 2009. – С. 255-260.

5. Ушаков А.С. Анализ эффективности строительства первых боковых стволов с горизонтальными ответвлениями на месторождениях ОАО «Сургутнефтегаз» / А.С. Ушаков, С.В. Левкович, А.С. Самойлов // Территория нефтегаз. - 2009. - № 12. – С. 58-61.

6. Самойлов А.С. Анализ результатов ГРП в горизонтальных скважинах месторождений ОАО «Сургутнефтегаз» / А.С. Самойлов, А.С. Ушаков // Проблемы геологии и освоения недр: Тр. Междунар. симпозиума им. академика Усова, Томск, 2010. – С. 337-341.

7. Ушаков А.С. Особенности ГРП в горизонтальных скважинах Быстрынского месторождения / А.С. Ушаков, А.С. Самойлов // Oil & Gas Journal. – 2010. - № 4. – С.32-34

8. Ушаков А.С. Обоснование показателей гидроразрыва пласта для горизонтальных скважин / А.С. Ушаков, А.В. Стрекалов, М.С. Королев // Территория нефтегаз. - 2010. - № 5. – С. 14-16.

Соискатель

А.С. Ушаков

НТБ  
ІФНТУНГ



an2112